

УДК 535.36

Ю. Ц. Батомункуев, Н. А. Мещеряков

(Новосибирск)

СТАБИЛИЗАЦИЯ ПОЛОЖЕНИЙ
ИНТЕРФЕРЕНЦИОННЫХ ПОЛОС ПРИ ЗАПИСИ
ОБЪЕМНОЙ ГОЛОГРАММЫ В РЕАЛЬНОМ ВРЕМЕНИ

Теоретически исследуется возможность стабилизации положения интерференционных полос относительно регистрируемой голограммы при наличии фотоиндуцированного и термоиндуцированного изменений среднего показателя преломления и толщины светочувствительной среды в процессе записи объемных голограмм в реальном времени.

Введение. Голографические среды с записью объемных голограмм в реальном времени (фотополимеры [1], реоксан [2], фоторефрактивные кристаллы [3]), наряду с достоинствами, обладают препятствующим их практическому использованию недостатком: вследствие смещения интерференционных полос в процессе экспозиции происходит стирание регистрируемых голограмм, приводящее к уменьшению дифракционной эффективности [4, 5]. Известно, что оптимальным выбором интенсивностей и углов распространения в среде записывающих волн возможна стабилизация положения интерференционных полос в объеме пропускающей голограммы [6–8]. Но при этом не учитывались термоиндуцированные изменения показателя преломления и толщины среды (из-за нагрева или охлаждения среды во время экспозиции).

В настоящей работе теоретически исследуется возможность стабилизации положений интерференционных полос при фотоиндуцированном и термоиндуцированном изменениях толщины и среднего показателя преломления светочувствительной среды во время записи пропускающих и отражающих объемных голограмм. Анализируются условия отсутствия смещения интерференционных полос относительно голограммы, регистрируемой плоскими волнами. Указываются условия, при которых изменением температуры можно пренебречь. Рассматриваются отдельные схемы записи, проводятся численные расчеты фотоиндуцированного и термоиндуцированного смещений интерференционных полос для полимерной среды типа реоксан.

Условие стабилизации положений интерференционных полос в динамической голографической среде. На рисунке представлены схемы записи объемной пропускающей (*a*) и отражающей (*b*) голограмм двумя плоскими волнами с интенсивностями I_r , I_o и длиной λ_0 в динамической среде

толщиной L , с показателем преломления n и линейным коэффициентом температурного расширения α . В процессе экспозиции в результате фотоиндущированного $(\Delta n_o^f, \Delta n_r^f)$ и термоиндущированного $(\Delta n_o^T, \Delta n_r^T)$ изменений среднего показателя преломления среды происходит непрерывное изменение углов распространения записывающих волн в среде, приводящее к смещению интерференционных полос относительно записываемой голограммы [7]. С другой стороны, фотоиндущированное и термоиндущированное изменения толщины среды $(\Delta L_o^f, \Delta L_r^f, \Delta L_o^T, \Delta L_r^T)$ приводят к смещению уже сформированного распределения показателя преломления в записанной голограмме относительно интерференционных полос, тем самым обеспечивая возможность динамической стабилизации положений интерференционных полос при совпадении скоростей и направлений смещения голограммы и интерференционных полос.

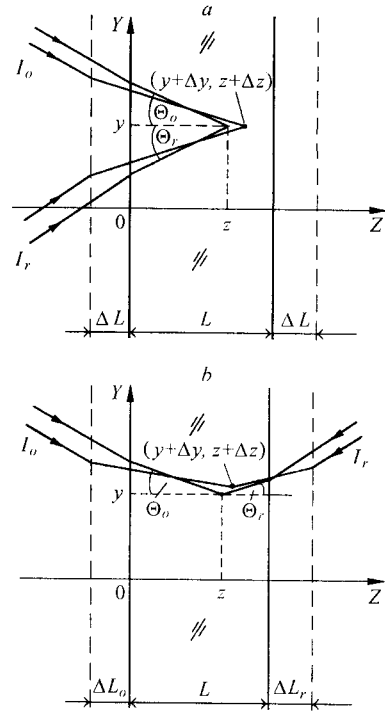
Условие стабилизации положений интерференционных полос относительно голограммы представляется в виде системы

$$\begin{cases} \Delta\phi(x + \Delta x, y + \Delta y, z + \Delta z) - \Delta\phi(x, y, z) = 0, \\ \Delta x = \Delta x^f + \Delta x^T, \\ \Delta y = \Delta y^f + \Delta y^T, \\ \Delta z = \Delta z^f + \Delta z^T, \end{cases} \quad (1)$$

где $\Delta\phi(x, y, z)$, $\Delta\phi(x + \Delta x, y + \Delta y, z + \Delta z)$ – разности фаз записывающих волн в точках (x, y, z) и $(x + \Delta x, y + \Delta y, z + \Delta z)$; $\Delta x, \Delta y, \Delta z$ – сдвиг интерференционных полос в точке (x, y, z) ; $\Delta x^f, \Delta y^f, \Delta z^f, \Delta x^T, \Delta y^T, \Delta z^T$ – фотоиндущированный и термоиндущированный сдвиги голограммы в точке (x, y, z) .

При этом термоиндущированное изменение показателя преломления и толщины среды может происходить в результате дополнительного нагрева или охлаждения во время записи.

Стабилизация положений интерференционных полос объемной голограммы. Для пропускающей и отражающей объемных голограмм, представленных на рисунке, ограничимся рассмотрением разности фаз записывающих волн в плоскости $Y0Z$. Записывая разности фаз $\Delta\phi(y, z)$, $\Delta\phi(y + \Delta y, z + \Delta z)$ через оптические пути (эйконалы) и углы распространения волн в среде Θ_o, Θ_r (в воздухе Θ_o^a, Θ_r^a) и разлагая полученные выраже-



ния по малым параметрам $\Delta y/y$, $\Delta z/z$, $(\Delta n_o^f + \Delta n_o^T)/n$, $(\Delta n_r^f + \Delta n_r^T)/n$, $\Delta L_o/L = (\Delta L_o^f + \Delta L_o^T)/L$, $\Delta L_r/L = (\Delta L_r^f + \Delta L_r^T)/L$, получим условие стабилизации (1) в виде

$$\begin{cases} \frac{2\pi}{\lambda_0} \left[\frac{\Delta n_o^f + \Delta n_o^T}{\cos \Theta_o} \mp \frac{\Delta n_r^f + \Delta n_r^T}{\cos \Theta_r} + \frac{n(\Delta z^f + \Delta z^T)}{z} (\cos \Theta_o \mp \cos \Theta_r) \right] = 0, \\ \frac{2\pi}{\lambda_0} (\Delta L_o + \Delta L_r) [n \cos \Theta_o - \cos \Theta_o^a - n \cos \Theta_r + \cos \Theta_r^a] = 0, \\ \frac{2\pi}{\lambda_0} (\Delta y^f + \Delta y^T) [\sin \Theta_o \mp \sin \Theta_r] = 0. \end{cases} \quad (2)$$

В этих и последующих выражениях знаки «-» соответствуют пропускающим голограммам, а «+» – отражающим. Для отражающей голограммы второе выражение системы (2) заменяется на следующее:

$$\frac{2\pi}{\lambda_0} \left[\Delta L_o (\cos \Theta_o^a - n \cos \Theta_o) - \Delta L_r (\cos \Theta_r^a - n \cos \Theta_r) - \frac{\Delta n_r^f + \Delta n_r^T}{\cos \Theta_r} L \right] = 0. \quad (2a)$$

Заметим, что в первом приближении термоиндуцированное изменение толщины и показателя преломления приводит к независимому дополнительному изменению разности фаз записывающих волн. Оптимальным изменением пространственного распределения температуры и оптических характеристик сред возможно выполнение условий (2) и (2а) при заданных параметрах записывающих волн.

Для пропускающей голограммы при отсутствии фотоиндуцированного и термоиндуцированного сдвигов голограммы или их взаимной компенсации ($\Delta L_o + \Delta L_r = \Delta L^f + \Delta L^T = 0$, $\Delta y^f + \Delta y^T = 0$, $\Delta z^f + \Delta z^T = 0$) система (2) сводится к полученным ранее условиям [6, 7]. В случае когда запись пропускающей голограммы производится в среде на неподвижной прозрачной подложке ($\Delta L^f + \Delta L^T = 0$), вторым выражением в системе (2) можно пренебречь.

Рассмотрим интересные с практической точки зрения частные случаи.

1. *Несимметричная схема записи* ($\Theta_o \neq \Theta_r$). В этом случае для пропускающей голограммы стабилизация имеет место при отсутствии во время экспозиции сдвига поверхности среды, на которую падают записывающие волны ($\Delta L^f + \Delta L^T = 0$), и взаимной компенсации термоиндуцированного и фотоиндуцированного сдвигов голограммы вдоль оси $0y$ ($\Delta y^f + \Delta y^T = 0$). Сдвиг голограммы и интерференционных полос вдоль оси $0z$ при этом может быть различным ($\Delta z^f + \Delta z^T \neq 0$). Изменение температуры в процессе экспозиции определяется из первого выражения системы (2).

В параксиальной области углов ($\Theta_o \ll 1$, $\Theta_r \ll 1$) первое выражение системы (2) для пропускающей голограммы сводится к виду $\Delta n = \Delta n_o^f + \Delta n_o^T = \Delta n_r^f + \Delta n_r^T = \frac{\Delta z^f + \Delta z^T}{z} n = n\gamma_z + n\alpha_z \Delta T$, где γ_z , α_z – относительная усадка (набухание) и коэффициент линейного температурного расширения среды во время экспозиции вдоль оси $0z$.

При этом получаем, что стабилизация происходит при такой температуре, когда относительное изменение показателя преломления $\Delta n/n$ равно относительному сдвигу голограммы от начального положения вдоль оси $0z$. В частном случае, когда фотоиндуцированное и термоиндуцированное изменения показателя преломления и толщины среды имеют противоположные знаки, стабилизация происходит при нагреве (охлаждении) среды, если фотоиндуцированное изменение толщины имеет отрицательный (положительный) знак.

В случае отражающих голограмм стабилизация имеет место при температуре, когда термоиндуцированные изменения показателя преломления, толщины среды, смещения интерференционных полос и голограммы компенсируются их фотоиндуцированными изменениями ($\Delta n_r^f + \Delta n_r^T = \Delta n_o^f + \Delta n_o^T = 0$, $\Delta L^f + \Delta L^T = \Delta z^f + \Delta z^T = \Delta y^f + \Delta y^T = 0$). Соответствующее изменение температуры равно $\Delta T = -\frac{\Delta n_o^f}{\frac{dn}{dT}} = -\frac{\Delta n_r^f}{\frac{dn}{dT}} = -\frac{\gamma_z}{\alpha_z} = -\frac{\gamma_y}{\alpha_y}$, где $\frac{dn}{dT}$ –

термооптический коэффициент; γ_y , γ_z , α_y , α_z – соответственно относительная усадка и коэффициент линейного температурного расширения среды вдоль осей $0y$ и $0z$.

В частном случае, когда фотоиндуцированное и термоиндуцированное изменения показателя преломления и толщины среды имеют противоположные знаки, стабилизация происходит при нагреве среды ($\Delta T > 0$).

2. *Схема записи с волнами одинаковой интенсивности.* При равенстве локальных интенсивностей записывающих волн (выполнении условий $\Delta n_o^f + \Delta n_o^T = \Delta n_r^f + \Delta n_r^T = \Delta n$, $\Delta n_o^f = \Delta n_o^T = \Delta n^f$) первое выражение системы (2) для пропускающих голограмм сводится к виду

$$\Delta n = n \frac{\Delta z^f + \Delta z^T}{z} \cos \Theta_o \cdot \cos \Theta_r = n(\gamma_z + \alpha_z \Delta T) \cos \Theta_o \cdot \cos \Theta_r,$$

откуда получаем, что стабилизация имеет место при оптимальном выборе температуры и углов наклона волн, а также при выполнении дополнительного условия: относительное изменение показателя преломления в процессе экспозиции совпадает по знаку, но меньше по абсолютной величине относительного изменения толщины среды.

Для отражающих голограмм при равенстве локальных интенсивностей записывающих волн, а также выполнении условия $\Delta y^f + \Delta y^T = 0$ система (2) с учетом (2a) сводится к виду

$$\begin{cases} \frac{\Delta n}{\cos \Theta_r} + n \gamma_z \cos \Theta_o = 0, \\ \Delta L_o (\cos \Theta_o'' - n \cos \Theta_o) - \Delta L_r (\cos \Theta_r'' - n \cos \Theta_r) - \frac{\Delta n L}{\cos \Theta_r} = 0. \end{cases}$$

Подставляя первое выражение во второе, получаем при записи на термостабильной подложке ($\Delta L_r = 0$) $\frac{\Delta L_o}{L} (\cos \Theta_o'' - n \cos \Theta_o) + n \gamma_z \cos \Theta_o = 0$.

Сократив на $\gamma_z = \frac{\Delta L_o}{L}$, находим $\cos \Theta_o^a = 0$. Это означает, что запись отражающих голограмм необходимо производить при скользящем угле падения волны в среду. При этом изменение температуры равно $\Delta T = -\frac{\gamma_y}{\alpha_y}$.

Таким образом, и в этом случае получаем, что в среде на подложке стабилизация имеет место при оптимальном выборе температуры и углов наклона волн, а также при одновременном выполнении следующего условия: фотоиндуцированное смещение голограммы вдоль оси $0y$ в процессе экспозиции компенсируется соответствующим термоиндуцированным смещением.

Величина изменения температуры T получается из первого уравнения

$$\text{системы (2) и равна } \Delta T = \frac{\mp \frac{\Delta n^f}{n} - \gamma_z \cos \Theta_o \cdot \cos \Theta_r}{\alpha_z \cos \Theta_o \cdot \cos \Theta_r \pm \frac{dn}{ndT}}, \text{ где } \frac{dn}{ndT} \text{ — термооптический коэффициент среды.}$$

3. Симметричная схема записи ($\Theta_o = \Theta_r = 0$). В случае пропускающей голограммы стабилизация происходит при такой температуре, когда фотоиндуцированное и термоиндуцированное изменения показателя преломления имеют противоположные знаки и взаимно компенсируют друг друга ($\Delta n_o^f - \Delta n_r^f = -(\Delta n_o^T - \Delta n_r^T)$), а также фотоиндуцированный сдвиг голограммы по оси $0y$ компенсируется термоиндуцированным сдвигом ($\Delta y^f + \Delta y^T = 0$).

Для отражающей голограммы на подложке ($\Delta L_r \approx 0$) стабилизация имеет место при скользящих углах в воздухе к поверхности среды, а величина изме-

$$\text{нения температуры равна } \Delta T = -\frac{\frac{\Delta n^f}{n} + \gamma_z \cos^2 \Theta}{\alpha_z \cos^2 \Theta + \frac{dn}{ndT}}. \text{ Однако при этом не требуется взаимной компенсации фото- и термоиндуцированного смещений голограммы по оси } 0y.$$

Из системы (2) также следует условие, когда изменением температуры ΔT в процессе записи пропускающей и отражающей голограмм можно пренебречь:

$$|\Delta TL| \ll \left| \frac{\frac{\Delta n^f}{n} \pm \gamma_z \cos \Theta_o \cdot \cos \Theta_r}{\alpha_z \cos \Theta_o \cdot \cos \Theta_r \pm \frac{dn}{ndT}} L \right|.$$

Численный пример. Вычислим изменение разности фаз плоских волн для пропускающей голограммы в среде типа реоксан толщиной 3 мм с показателем преломления $n = 1,493$, фотоиндуцированным изменением среднего показателя преломления $\Delta n_o^f = \Delta n_r^f = 10^{-4}$, коэффициентом температурного расширения $\alpha = 10^{-4} 1/\text{ }^\circ\text{C}$, при изменении температуры на $\Delta T = 2 \text{ }^\circ\text{C}$ для углов волн в среде $\Theta_o = 0^\circ$, $\Theta_r = 30^\circ$ ($\gamma_z = 0$, $\lambda_0 = 5 \cdot 10^{-7} \text{ м}$).

Термоиндуцированное изменение показателя преломления равно

$$\Delta n_o^T = \Delta n_r^T = \frac{dn}{dT} \Delta T = -(n\alpha + 2 \cdot 10^{-6}) \Delta T,$$

где значение термооптического коэффициента $\frac{dn}{dT}$ взято из [9].

Тогда изменение разности фаз из системы (2) равно

$$\gamma_{-r}(\gamma_o - \Delta n^f) - \gamma_{+r}(\gamma_o + \Delta n^T)$$

Видно, что при изменении температуры на 2 °C в процессе экспозиции термоиндуцированное изменение разности фаз в 5,8 раза превышает фотоиндуцированное, при этом происходит смещение интерференционных полос при толщине среды L почти на половину периода.

Легко рассчитать, что стабилизация достигается при изменении температуры в процессе экспозиции на 0,4 °C. В этом случае соответствующее термоиндуцированное изменение показателя преломления равно $\Delta n_o^T = \Delta n_r^T = 5 \cdot 10^{-5}$, а изменение толщины $\Delta L^T = 0,1$ мкм. При фотоиндуцированном изменении $\Delta n_o^f = \Delta n_r^f = -10^{-4}$ стабилизация достигается при изменении температуры на -0,4 °C.

Вычислим изменение разности фаз плоских волн для отражающей голограммы с теми же параметрами среды, что и для пропускающей голограммы при изменении температуры на 2 °C.

Тогда изменение разности фаз на границе среды при $z=0$ и углах $\Theta_o = \Theta_r = 40^\circ$ (в воздухе $\Theta_o^a = \Theta_r^a = 68^\circ$) из второго выражения системы (2) равно

$$\begin{aligned} & \frac{2\pi L}{\lambda_0} \left[\alpha \Delta T (\cos \Theta_o^a - n \cos \Theta_o) - \frac{\Delta n^T}{\cos \Theta_o} \right] - \frac{2\pi L}{\lambda_0} \frac{\Delta n^f}{\cos \Theta_o} \approx \\ & \approx \frac{2\pi \cdot 3 \cdot 10^{-7} \text{ м}}{5 \cdot 10^{-7} \text{ м}} (2,2 \cdot 10^{-4} - 1,2 \cdot 10^{-4}) \approx 1,2\pi. \end{aligned}$$

Видно, что при изменении температуры на 2 °C в процессе экспозиции термоиндуцированное изменение разности фаз в 1,8 раза превышает фотоиндуцированное, при этом происходит смещение интерференционных полос примерно на половину периода.

Легко рассчитать, что стабилизация достигается при изменении температуры в процессе экспозиции на 1,1 °C, а соответствующие термоиндуцированные изменения показателя преломления и толщины равны $\Delta n^T = -1,6 \cdot 10^{-4}$, $\Delta L^T = 3 \cdot 10^{-7}$ м.

При фотоиндуцированном изменении $\Delta n_o^f = \Delta n_r^f = -10^{-4}$ стабилизация достигается при изменении температуры на -1,1 °C. Все расчеты выполнены

для среды на термостабильной прозрачной подложке в случае отсутствия усадки толщины среды ($\Delta L_r = 0$, $\gamma = 0$).

Заключение. Таким образом, в работе показано, что при записи объемной голограммы в реальном времени возникающая дополнительная разность фаз между записывающими волнами из-за незначительного изменения температуры во время экспозиции позволяет компенсировать фотоиндуцированное изменение разности фаз этих же волн.

Получены условия стабилизации положения интерференционных полос в динамической голографической среде для пропускающих и отражающих голограмм плоских волн, позволяющие определить оптимальные температурные режимы записи по известным физическим характеристикам среды (чувствительность Δn^f , относительная усадка γ , термооптический коэффициент $\frac{dn}{dT}$, коэффициент линейного температурного расширения α) и устанавливающие дополнительные требования к физическим характеристикам сред. Указаны условия, при которых изменением температуры в процессе экспозиции можно пренебречь.

Проведены численные расчеты для голографической среды типа реоксан толщиной 3 мм, показывающие, что повышение температуры на 2 °С приводит к превышению термоиндуцированного изменения разности фаз записывающих волн по сравнению с фотоиндуцированным изменением для пропускающих голограмм в 5,8 раза, для отражающих – в 1,8 раза.

СПИСОК ЛИТЕРАТУРЫ

1. Барачевский В. А. Новые регистрирующие среды для оптической голографии. Л.: Наука, 1983. С. 3–27.
2. Суханов В. И., Лашков Г. И., Петников А. И. др. Запись фазовых голограмм на органическом полимерном материале с дисперсией, изменяющейся вследствие триплексенсибилизованных процессов // Оптическая голография. Л.: Наука, 1979. С. 24–42.
3. Петров М. П., Степанов С. И., Хоменко А. В. Фоточувствительные электрооптические среды в голографии и оптической обработке информации. Л.: Наука, 1983. С. 270.
4. Суханов В. И., Петников А. Е., Ащеулов Ю. В. Запись голограмм во встречных пучках на органическом материале реоксан // Оптическая голография. Л.: Наука, 1983. С. 56–64.
5. Смирнова Т. М., Сарбаев Т. А., Тихонов Е. А. Голографическая запись отражательных решеток на фотополимеризующемся композите в реальном времени // Квантовая электроника. 1993. № 2.
6. Батомункуев Ю. Ц., Сандер Е. А., Шайдин С. А. Аберрации пропускающих объемных голограмм // Автоматизация проектирования оптических систем: Мат-лы Всесоюз. сем. М.: ГОИ им. С. И. Вавилова, 1988. С. 101–112.
7. Мамаев А. В., Шкунов В. В. Условия статической записи трехмерных голограмм в динамических средах // Оптическая голография с записью в трехмерных средах. Л.: Наука, 1989. С. 56–64.
8. Зельдович Б. Я., Ильиных П. Н., Нестеркин О. П. Запись статической голограммы движущейся интерференционной картиной в фоторефрактивных кристаллах // ЖЭТФ. 1990. 98, № 3. С. 861.
9. Waxler R. M., Horowitz D., Feldman A. Optical and physical parameters of plexiglas 55 and lexan // Appl. Opt. 1979. 18, N 1. P. 101.